

CAP. I

INTRODUZIONE AL METODO DEGLI ELEMENTI FINITI

- PROBLEMI MONODIMENSIONALI - (1-D)

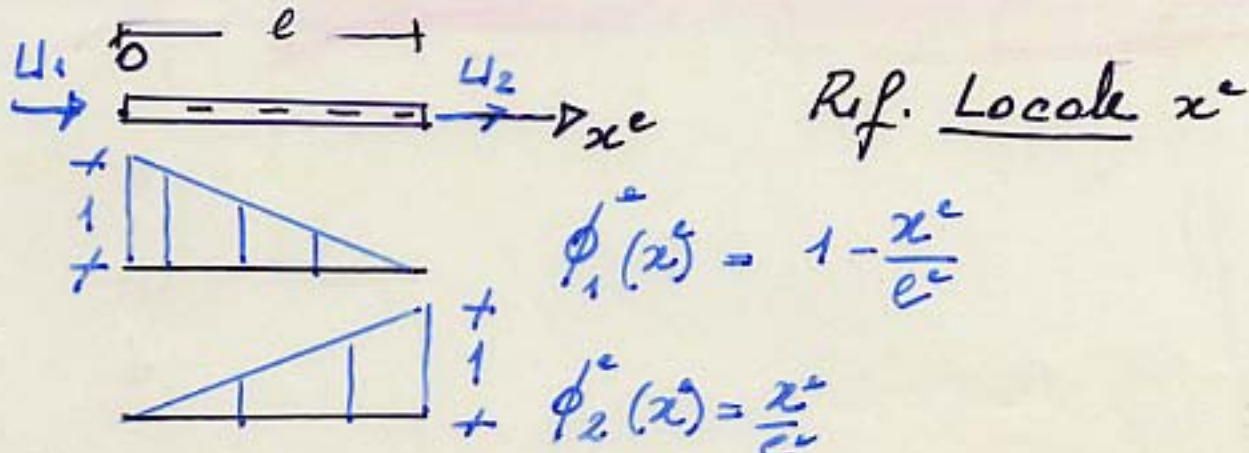
- FUNZIONI DI FORMA (SHAPF.)
- e FUNZIONI DI BASE - pag 1-4
- CARICHI MODALI EQUIVALENTI - pag 5
- MAT. DI RIGIDEZZA E SUE PROPRIETA' pag 6-10
- ESEMPI pag 11-16 bis -
- APPENDICE A1 (RICHIAVI DI MATEMATICA)

- 1 -

STRUTTURE COMPOSTE DA ELEMENTI MONODIMENSIONALI

- DEFINIZIONE DELLE PROPRIETÀ DELL'ELEMENTO

ASTA (o TRUSS): MODELLO CINEMATICO
- MODELLO LINEARE -



ϕ funzioni di forma o shape functions
(sono denominate anche $N(x)$ red. Conodi, Elementi)

campo di spostamenti.

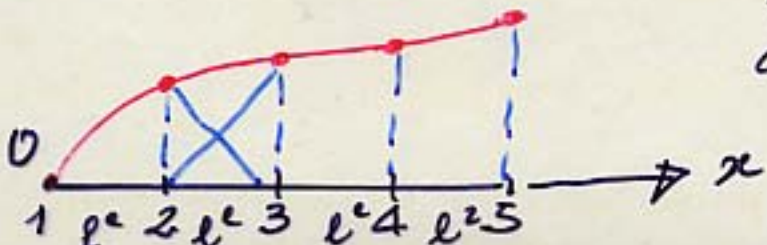
$$U^e(x^e) = U_1 \phi_1(x^e) + U_2 \phi_2(x^e) = \sum_i U_i \phi_i^e -$$

$$\underline{\Phi} \underline{U} = [\phi_1, \phi_2] \underline{U} \quad (1) \quad \text{all'interno di } l^e$$

PROPRIETÀ. I

Il campo di spostamenti è cinematicamente ammissibile (o compatibile):

I a) $u(x)$ è continuo se gli spostamenti nei nodi di 2 elementi contigui sono uguali.



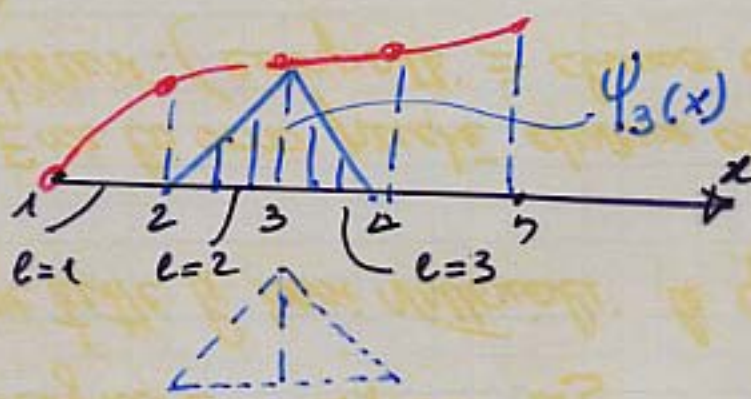
Ib) $u(x)$ verifica le condizioni di congruenza al bordo ($u_i = \bar{u}_i$ su $\partial\Omega_u$) se ed u viene imposto su esumeri particolari valori. E.g. $u_i = 0$ nell'esempio

Ic) Il campo di spostamento nell'intera struttura può essere scritto nella forma

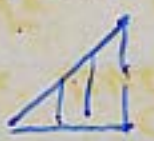
$$u(x) = \sum_k \psi_k(x) u_k \quad (x \text{ ref. globale})$$

ove le funzioni $\psi_k(x)$ sono delle funzioni di base (basis functions) e valgono 1 nel nodo e 0 in quelli adiacenti.

(le ψ sono composte dalle funzioni di forme differenti al nodo i)



ϕ_2 el. 2



$$\frac{d\phi_2}{dx} = \epsilon$$



ϕ_1 el/3

$$\frac{d\phi_1}{dx} = \epsilon$$

Id) l'Epot. elastico è finita

$$\Pi^e(x^e) = \int_0^{x^e} \frac{1}{2} E(\epsilon^e(x^e))^2 dx^e$$

è finita ed integrabile nel senso di Lebesgue (a meno di un insieme di misura nulla)

$$\text{essendo } \epsilon_x = \frac{du}{dx}$$

$$\begin{aligned} \epsilon^e(x^e) &= \frac{d}{dx^e} \left(\sum_i \phi_i(x^e) u_i \right) \\ &= \sum_i u_i \frac{d\phi_i^e}{dx^e} \end{aligned}$$

Gli elementi che generano un campo di spostamento circ. ammissibili e verificano le le proprietà $I_0 - I_d$ son detti elementi compatibili.

REMARK

Le funzioni base φ_i costituiscono le basi dello spazio vettoriale discreto. (nell'esempio $N=5$) Di fatto si è trasformato un pb con una funzione incognita $u(x)$ (che ovviamente ha 00 valori uno per $\forall x$) in un pb con $N=5$ incognite $u_1, \dots, u_5 \Rightarrow$ Discretizzazione

Come tutte le basi vettoriali le φ_i devono essere

i) linearmente indipendenti.

Esempio sono perché diverse da zero e assieme diversi. (compatibili \Leftrightarrow chiuso e limitato)

ii) Ciascuna funzione di base è comunque ammissibile (ovvero è una sol. possibile)

 Siamo in presenza di un metodo alle **GALERKIN** (\circ Kitz-GALERKIN)

iii) la soluzione (vedi Appendice A.1)

$$u^N(x) = \sum_{k=1}^N u_k \varphi_k(x) \text{ converge}$$

alla soluzione esatta $u^0(x)$ al crescere degli elementi

$$\left| \Pi(u^N) - \Pi(u^0) \right| < \epsilon \quad , \lim_{N \rightarrow \infty} \left| \Pi(u^N) - \Pi(u^0) \right| \rightarrow 0$$

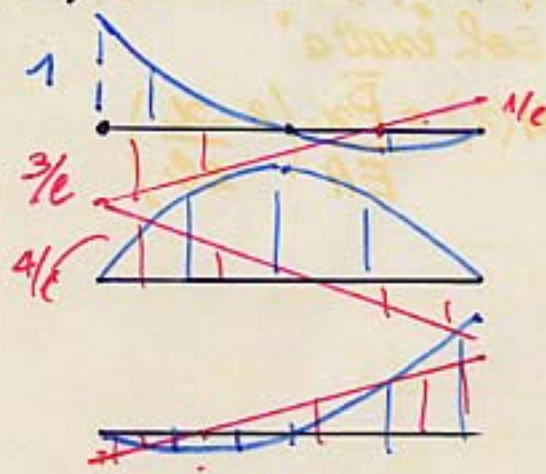
per $N \geq N_\epsilon$

MODELLO QUADRATICO

Si assume un polinomio approssimante di II grado

$$U^e(x^e) = Q_1 + Q_2 \frac{x^e}{e^e} + Q_3 \frac{x^e}{e^e}^2 \Rightarrow$$

$$\rightarrow \epsilon_x^e = \frac{1}{e^e} \left(Q_2 + 2Q_3 \frac{x^e}{e^e} \right)$$



$$\phi_1(x^e) = 1 - \frac{3x^e}{e^e} + \frac{2x^e}{e^e}^2$$

$$\phi'_1(x^e) = \frac{1}{e^e} \left(-3 + 4x^e \right)$$

$$\phi_2(x^e) = 4 \left(\frac{x^e}{e^e} - \frac{x^e}{e^e}^2 \right), \phi'_2 = \frac{4}{e^e} \left(1 - 2x^e \right)$$

$$\phi_3(x^e) = \left(-\frac{x^e}{e^e} + 2 \frac{x^e}{e^e}^2 \right), \phi'_3 = \frac{1}{e^e} \left(-1 + 4x^e \right)$$

$$U^e(x^e) = \underline{\Phi} \underline{U} - [\phi_1, \phi_2, \phi_3] \underline{U}$$

$$\epsilon_x = \frac{d \underline{\Phi}}{dx^e} \cdot \underline{U} = [\phi'_1, \phi'_2, \phi'_3] \underline{U} = \underline{B} \underline{U}$$

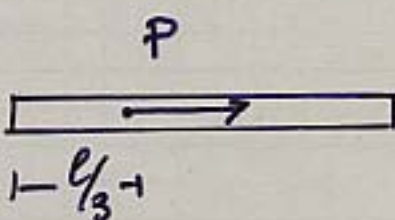
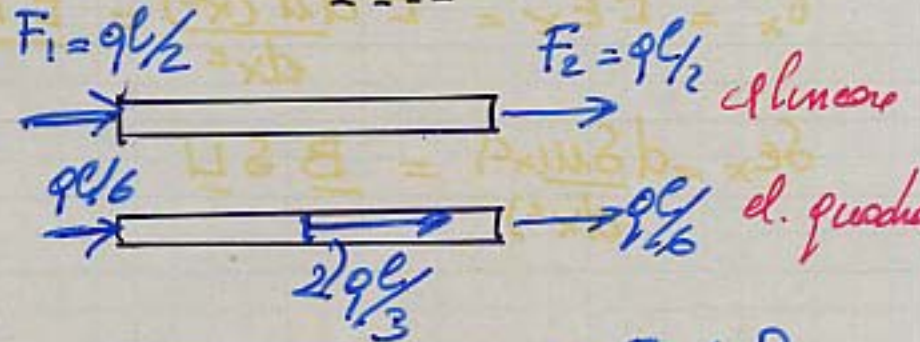
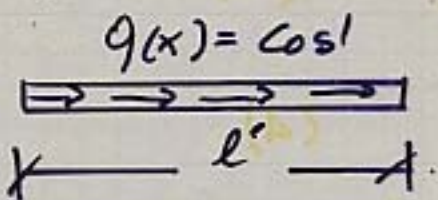
B mat. delle derivate delle funzioni di forma

Una approssimazione è detta MINIMALE e CONFORME se le funzioni di forma sono del grado più basso possibile affinché si sia cinematicamente ammibile. Ovvero lo spazio approssimato sia il più vasto (i.e. meno restrittivo) possibile. Il Modello lineare è minimale e CONFORME.

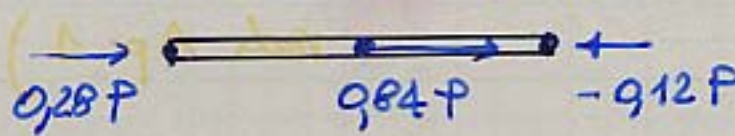
FORZE NODALI

$$\underline{P_{LV}} \quad \text{Le} = \underline{F^T S U} = \int_0^{l^e} q(x^e) \cdot S U(x^e) dx^e = (2_e)$$

$$= \int_0^{l^e} q \underline{\Phi}(x^e) dx^e \cdot \underline{S U} \quad \Rightarrow \quad F_1 = \int q(x) \phi_1(x) dx$$



$$F_1 = \frac{2}{3} P \quad F_2 = \frac{1}{3} P$$



REMARK

Le forze concentrate non trattate nel senso delle distribuzioni.

Con rif. all'esempio si scrive

$$P \delta(x = 0,3 \frac{x^e}{l^e}) \rightarrow \delta \text{ dist. di Dirac}$$

$$(a) F_1 = \int_0^{l^e} P \delta(x^e = 0,3) \varphi_1(x^e) dx^e = P \cdot \varphi_1(x^e = 0,3) = 0,28 P$$

CARICHI NODALI EQUIVALENTI A DISTORSIONI IMPRESSE

DISTORSIONI DISTRIBUITE

$$x \xrightarrow{\Delta T} x + \alpha \Delta T$$

$$\frac{x}{l} = \alpha \Delta T \Rightarrow x = \alpha l \Delta T$$

$$F^e = \begin{bmatrix} +\alpha E A \Delta T \\ -\alpha E A \Delta T \end{bmatrix}$$

$$F_{\psi_1}^e = \int_0^l -\underline{\sigma} \underline{\epsilon}^0 dx = \int_0^l -B_i^T E A \underline{\epsilon}_0 \underbrace{\alpha \Delta T}_{\underline{\epsilon}} dx$$

$$F_{\psi}^e = \int_0^l -\left(-\frac{1}{l}\right) E A \alpha \Delta T dx = +\alpha E A \Delta T$$

DISTORSIONE CONCENTRATA

$$\frac{x}{l} = \Delta \Rightarrow x = E A \Delta \frac{\Delta}{e}$$

$$L_e = \cancel{N(x)} - N(\bar{x}) \Delta(\bar{x})$$

$$F_i^e = -E A \psi_i'(\bar{x})$$

MATRICE DI RIGIDEZZA DELL'ELEMENTO

Con riferimento al pb modello si scrive il PLV

$$L_{Vi} = \int_0^{l_e} A \sigma_x \delta \epsilon_x \, dx^e = (2)$$

Tenendo conto che

$$\sigma_x = E \epsilon_x = E \frac{du^e(x^e)}{dx^e} = E \underline{B} \underline{U} \quad (3)$$

$$\delta \epsilon_x = d \frac{S \underline{U}(x^e)}{dx^e} = \underline{B} S \underline{U} \quad (4)$$

ASSUMENDO le stesse mat dell'funzioni di forma
B, si esprimono per le tensioni e lo sperimentalmente
 virtuale, le stesse funzioni di base o di
 tentativo (trial) (vedi Ap. 1)

In alcuni pb (e.g. di meccanica dei fluidi
 ciò non viene fatto)

Sostituendo 3 e 4 in 2 e ricordando le
 def. di prodotto scalare si ha (vedi Appendice 2)

$$L_{Vi} = \int_0^{l_e} S \underline{U}^T \underline{B}^T E A \underline{B} \underline{U} \, dx = \\ = S \underline{U}^T \underline{K}^e \underline{U} \quad (5)$$

$$\text{ove } \underline{K}^e = \frac{EA}{l_e} \begin{bmatrix} 1 & -1 \\ -1 & 1 \end{bmatrix} = \int_0^{l_e} \underline{B}^T E A \underline{B} \, dx^e \quad (6)$$

è la **MATRICE DI RIGIDEZZA NEL RIFERIMENTO
 LOCALE**

K_{ij}^e Forza <sup>1^{ma} indotta da sperimentalmente $u_j \neq 0$
 (coefficiente)</sup>

Uguagliando il lavoro esterno dovuto ai carichi $\underline{Q}^{(2_a)}$ quello interno (2_b)

$$L_{V_1} = L_{V^e} \Rightarrow \underline{S} \underline{U}^T \underline{F}^e = \underline{S} \underline{U}^T \underline{K}^e \underline{U}^e (\gamma_Q)$$

\Rightarrow Eq. Eq. dell'elemento

$$\boxed{\underline{F}^e - \underline{K}^e \underline{U}^e} (\gamma_b)$$

II PROPRIETA' DELLA MATRICE DI RIGIDEZZA

Dell'elemento

\underline{K}^e mat. simmetrica semi-definita positiva

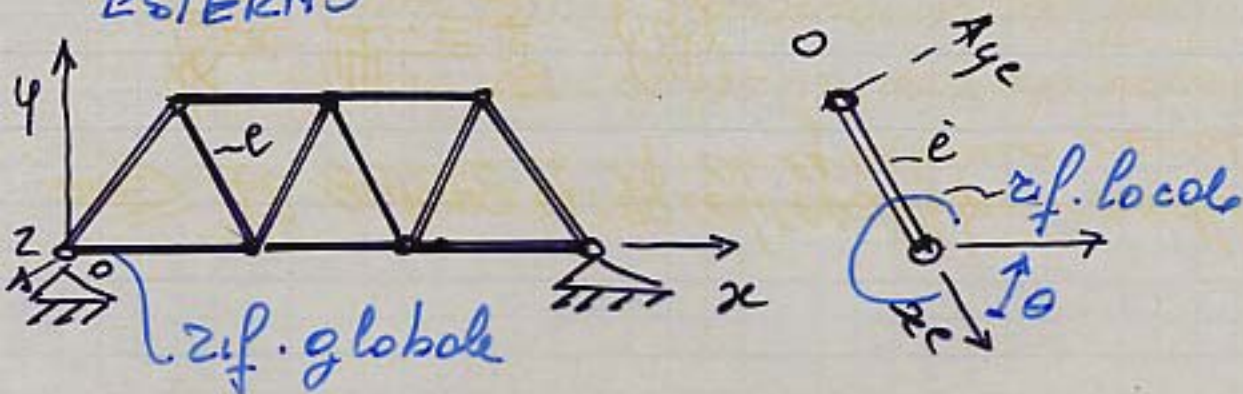
II_a Le simmetrie che si ottiene deriva dal Teorema di Betti (MAXwell) ($L_{12} = L_{21}$) è al discreto dovuto al fatto di scegliere le stesse funzioni di forme ϕ_i (o di base ψ_i) per $U^e(x)$ e $S U^e(x)$

II_b La semidefinitezza, ovvero la presenza di autovetori nulli di K^e , deriva dal fatto che essendo l'elemento privo di vincoli, l'eq. di equilibrio (γ_b) è verificato anche per spostamenti di moto rigido che sono sol. di γ .

II_c La positività deriva dalla positività del potenziale elastico (II^op. Termodinamica)
 $\Rightarrow E > 0$

ASSEMBLAGGIO E MATRICE DI RIGIDEZZA⁸⁻ DELLA STRUTTURA

SISTEMA DI RIFERIMENTO GLOBALE o ESTERNO



$$\underline{u} = \underline{T} \underline{u}^e$$

T matrice di trasformazione

- Rotazione atti moti che la trasformano coordinate

$$\underline{R} = \begin{vmatrix} \cos \theta & \sin \theta \\ -\sin \theta & \cos \theta \end{vmatrix}$$

R^e matrice che trasforma l'elemento

$$\underline{\underline{K}}^e = \underline{R}^{eT} \underline{\underline{K}}^e \underline{R}^e \quad (8)$$

Matrice di rigidezza dell'elemento nel riferimento globale

ASSEMBLAGGIO

Operazione che ricostruisce la continuità della struttura imponendo quello degli spostamenti nodali.

U vettore spost nodali delle strutture

F vettore Forze nodali - " "

$$\underline{\bar{K}} = U^e \underline{\bar{K}}^e \quad (3)$$

$\underline{\bar{K}}$ Matrice di rigidezza globale della struttura
Spesso conviene distinguere gli spostamenti
fra quelli liberi \underline{U}_L e quelli vincolati \underline{U}_o

$$\underline{U}^T = [\underline{U}_L, \underline{U}_o]$$

$$\begin{vmatrix} K_{LL} & | & K_{LO} \\ \hline - & | & - \\ \hline K_{OL} & | & K_{OO} \end{vmatrix} \begin{vmatrix} \underline{U}_L \\ \hline \underline{U}_O \end{vmatrix} = \begin{vmatrix} F \\ \hline R \end{vmatrix} \text{ restr. Vin colari.}$$

$\underline{\bar{K}}$ è semi-definita, sono possibili i moti
rigidi della struttura

K_{LL} , relativa alla struttura con vincoli,
è simmetrica def. pos.

Nel seguito con K si indicherà in genere
la matrice K_{LL} della struttura con vincoli.
(per semplicità di notazione)

\Rightarrow Il sistema di eq. di equilibrio nodali

$$K_{LL} \underline{U}_L = \underline{F} \quad (9)$$

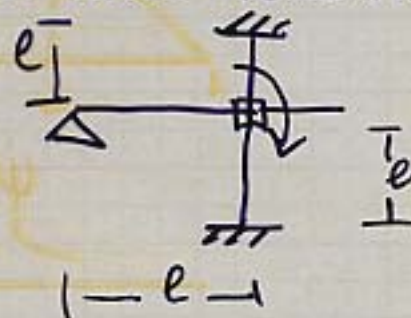
per le proprietà di K_{LL} ammette una unica
soluzione \underline{F} . (T. di Kirchhoff)

III PROPRIETA' DELLA MATRICE \underline{K} (ovvero del sistema di eq.(9))

IIIa SOMMABILITA'

I coef. delle matrice di rigidezza globale $\underline{\underline{K}}$ possono essere ottenuti per somma algebrica dei coefficienti delle matrici elementari \underline{K}^e afferenti allo stesso nodo.

Analogia



K del nodo come somma di coeff delle singole trave

$$K_q = (4 + 4 + 3) \frac{F}{e}$$

E' conseguenza della sommabilità del potenziale elastico (o del lavoro interno) dei simboli elementi.

IIIb SPARSITÀ

2 elementi (o 2 ante) che non hanno nodi in comune non hanno coef. di rigidezza mutua.

IIIc SIMMETRIA

La proprietà è, more solito, conseguente del teorema di Beddo ($L_{12} = L_{21}$)

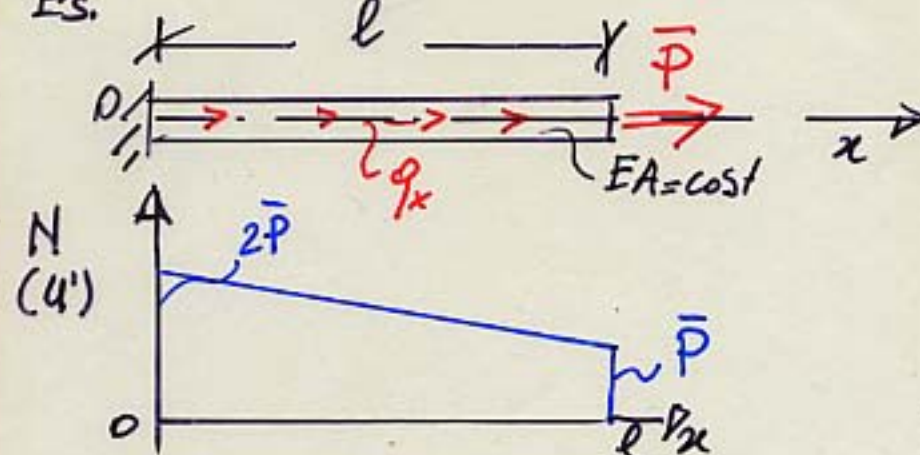
REMARKS

Poiché il calcolo di \underline{K}^e può essere fatto elemento per elemento viene in realtà fatto una volta per tutte per l'elemento di riferimento

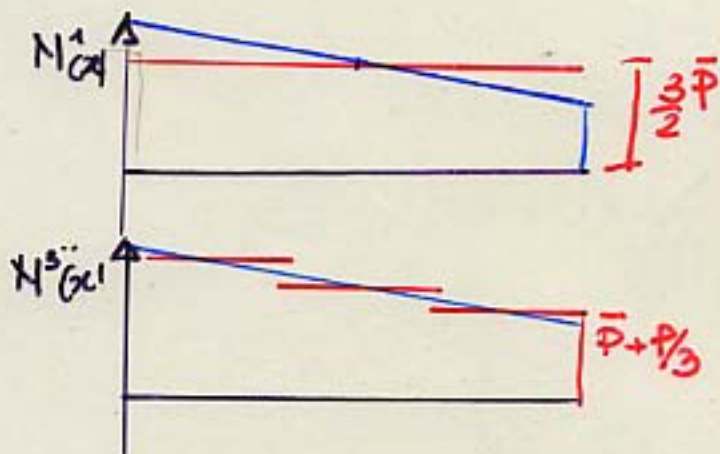
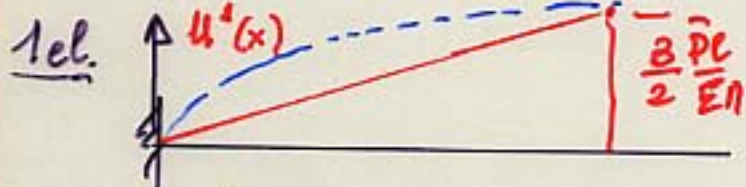
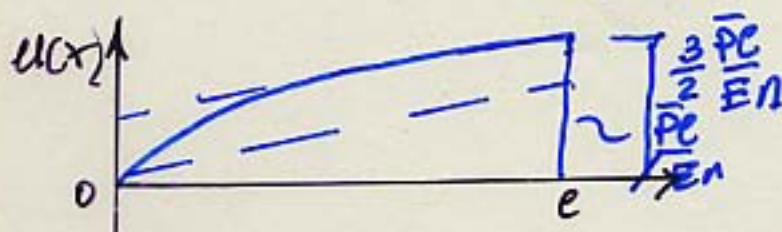
-10-

Formulazioni deboli ed eq. locali (d'equilibrio)

E.s.



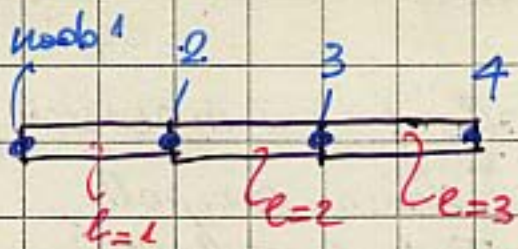
$$\begin{cases} -EAu'' = q_x \\ \text{bc.} \\ u(0) = 0 \quad (\text{ess.}) \\ EAu'(l) = \bar{P} = qe \quad (\text{nat.}) \\ \text{solt. esatta} \\ u(x) = \frac{\bar{P}x}{EA} \left(2 - \frac{x}{l} \right) \end{cases}$$



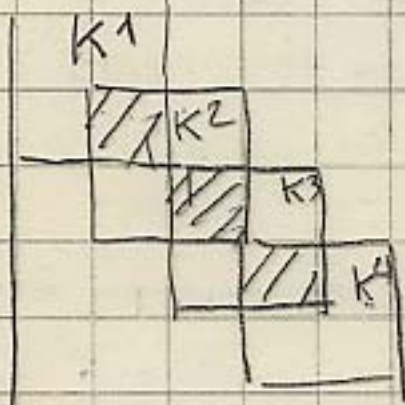
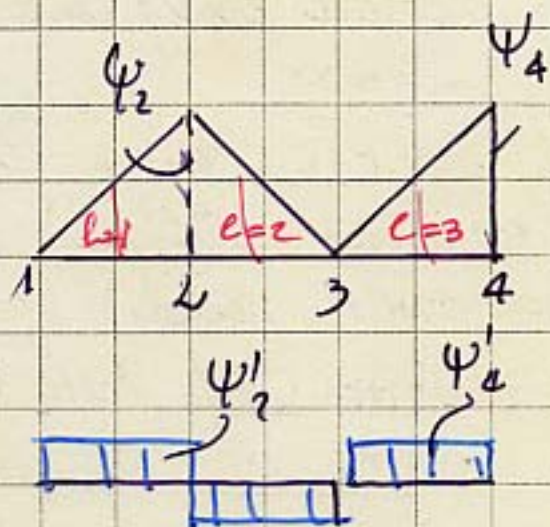
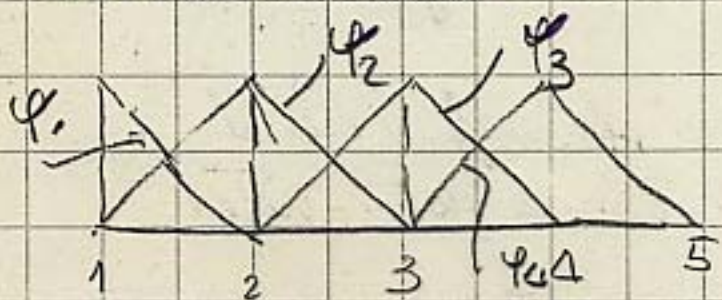
Commenti:

- Le eq. locali (o indefinite) sono violate all'interno degli elementi.
- .. Le eq. naturali al bordo sono violate
- ... $u'(N)$ non è continuo
Si osservi inoltre ~~che~~
- Sostanziale eq. con diff. finite centrali
- .. I vari codici per fornire $u'(tensioni)$ continuo introducono artifici tipo medeare i risultati nei nodi; il che se nel caso in esame è corretto, in generale induce "più" peggiori

-10 bits-



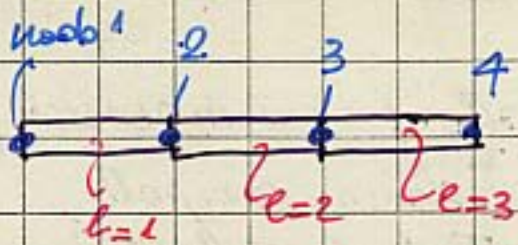
E' lineare e tratti



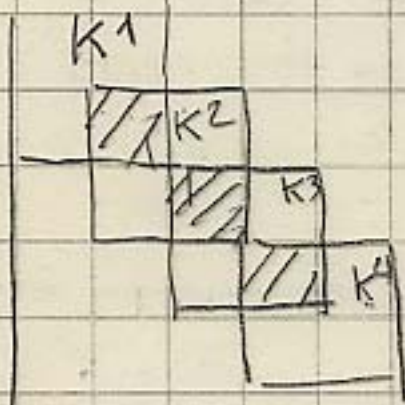
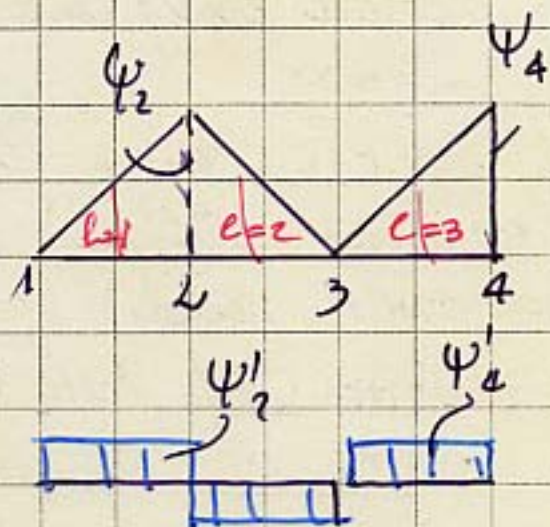
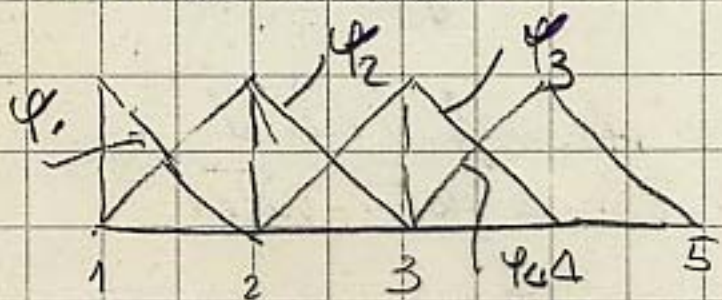
K^{11} TRIDIAGONALE

| SOHMABILITA'
| SPARSITA'
| SIMMETRIA

-10 bits-



E' lineare e tratti



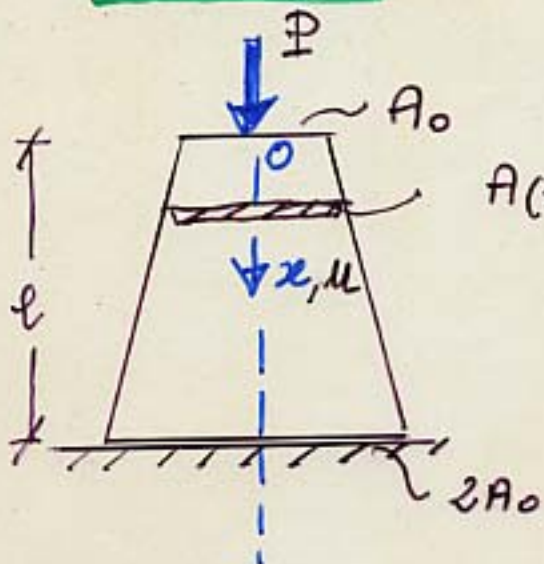
K^{11} TRIDIAGONALE

| SOHMABILITA'
| SPARSITA'
| SIMMETRIA

-11-

INTRODUZIONE AL METODO DEGLI "ELEMENTI FINITI"

- ESEMPIO N.1 -



$$A(x) = A_0 \left(1 + \frac{x}{l}\right)$$

Cond. al contorno

$$u(l) = 0$$

b.c. essenziale o agli spostamenti

$$N(0) = EA_0 u'|_{x=0} = -P_0$$

b.c. naturale (sulle forze)

Eq. equilibrio $\leftarrow \sum_{x=0}^L \rightarrow \sum_{x=L}^{L+dL} \frac{dN}{dx} = 0$

$$\Rightarrow \text{memolo } (N(x)) = A(x) \cdot E \cdot \frac{du}{dx}$$

$$\frac{d}{dx} \left[EA(x) \frac{du}{dx} \right] = 0$$

Eq. di equilibrio in termini di spostamenti

Soluzione "matte" (o classica, o forte)

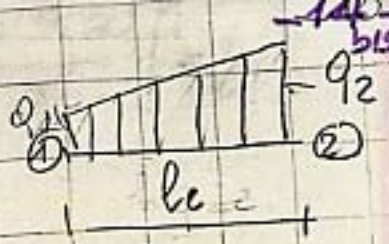
$$\epsilon_x = \frac{du}{dx} = \frac{\Gamma_x(x)}{E} = -\frac{P}{EA_0 \left(1 + \frac{x}{l}\right)} \Rightarrow$$

$$u(x) = u(0) + \int_0^x \epsilon_x(x) dx, \quad u(l) = u_0 + \int_0^l \epsilon_x dx = 0$$

$$\Rightarrow u_0 = - \int_0^l \epsilon_x dx = - \int_0^l \left(-\frac{P}{EA_0 \left(1 + \frac{x}{l}\right)}\right) dx = \left(\text{posto } \frac{x}{l} = \frac{x}{e}\right)$$

$$\frac{Pe}{EA_0} \int_0^1 \frac{dx}{1 + \frac{x}{e}} = \frac{Pe}{EA_0} \ln 2 = \boxed{0.69315} \frac{Pe}{EA_0}$$

vii) Vettore dei carichi nodali per un carico lineare



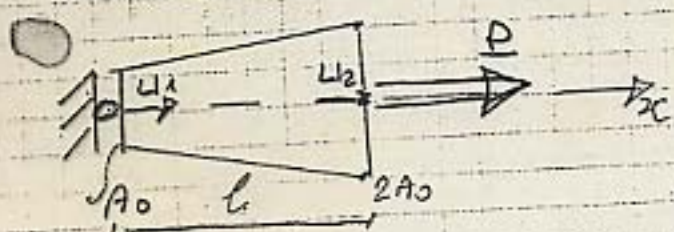
$$F_1 = \int_{-l/2}^{+l/2} \psi_1(\xi) q(\xi) d\xi = \frac{le}{6} (2q_1 + q_2)$$

$$F_2 = \int_{-l/2}^{+l/2} \psi_2(\xi) q(\xi) d\xi = \frac{le}{6} (q_1 + 2q_2)$$

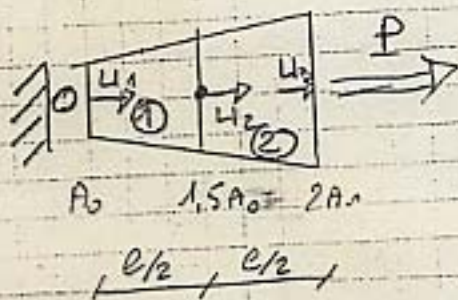
$$\text{carico uniforme } q_1 = q_2 \Rightarrow F_1 = F_2 = \frac{q le}{2}$$

Esempio - 11 -

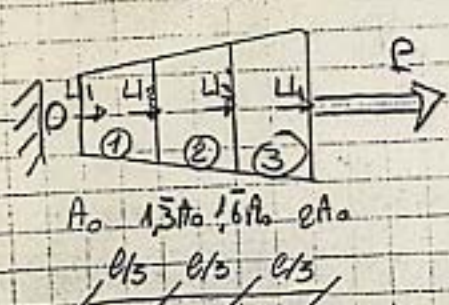
A titolo d'esempio si risolve l'asta esaminata col metodo di Ritz suddividendole in 1, 2 e 3 elementi, fatti "lineari"



$$\left. \begin{array}{l} \text{Condizione al contorno esterno: } u_1 = 0 \\ \text{Sistema Eq. lineari: } \frac{3EA_0}{2} u_2 - P = 0 \\ u_2 = 0,6 \frac{P}{EA_0} \end{array} \right\}$$



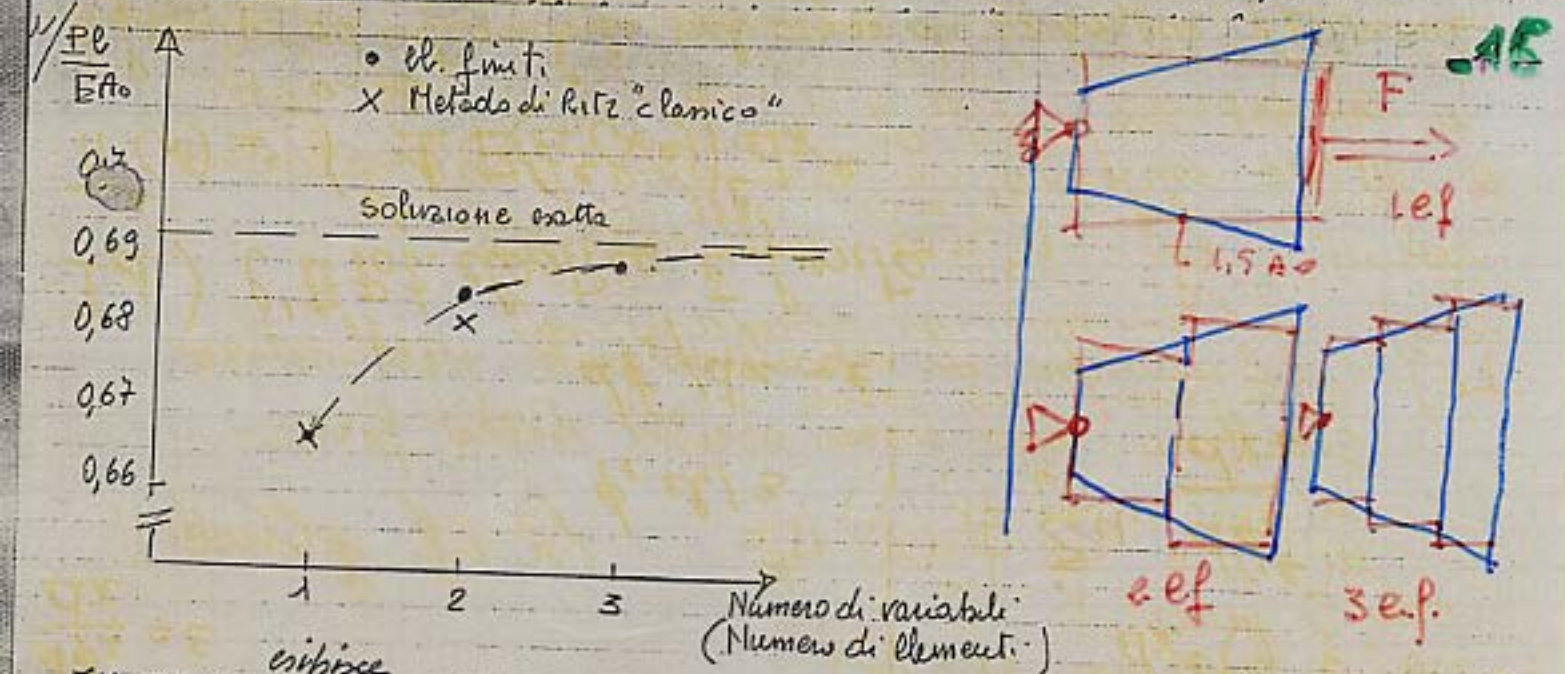
$$\left. \begin{array}{l} u_1 = 0 \\ \frac{EA_0}{(P)} \begin{vmatrix} (1,25+1,75) & -1,75 \\ -1,75 & 1,75 \end{vmatrix} \begin{vmatrix} u_2 \\ u_3 \end{vmatrix} = \begin{vmatrix} 0 \\ P \end{vmatrix} \\ u_3 = 0,686 \frac{P}{EA_0} \end{array} \right\}$$



$$\left. \begin{array}{l} u_1 = 0 \\ \frac{EA_0}{(P)} \begin{vmatrix} (1,16+1,5) & -1,5 & 0 \\ -1,5 & (1,5+1,83) & -1,83 \\ 0 & -1,83 & (1,83) \end{vmatrix} \begin{vmatrix} u_2 \\ u_3 \\ u_4 \end{vmatrix} = \begin{vmatrix} 0 \\ 0 \\ P \end{vmatrix} \\ u_4 = 0,690 \frac{P}{EA_0} \end{array} \right\}$$

La soluzione esatta risulta $0,693147 \frac{P}{EA_0}$

La convergenza del metodo alle soluzioni esatte è rappresentata dal grafico seguente



Il grafico mostra una convergenza monotona dal di sotto (~~verso l'alto~~) alla soluzione esatta, che è tipico del metodo degli elementi finiti basati sul Principio di minimo dell'E.P.T.

Peraltro si riconosce che l'affermazione "lo spostamento ottenuto in un generico punto col metodo degli elementi finiti con interpolazione dello spostamento è sicuramente inferiore al valore esatto" è erronea.

Si incontra questo metodo chiamato E.F. (come il metodo di).

La convergenza dell'energia P.T. corrispondente allo spostamento approssimato al valore esatto dell'E.P.T.

$$\Pi(u_{AP}^n) \xrightarrow[n \rightarrow \infty]{} \Pi(u)$$

e che sempre risulta $\Pi(u_{AP}^n) \geq \Pi(u)$

L'esempio ora discusso riguarda ad una struttura a cui è applicato un carico concentrato e che risulta il teorema di Clapeyron sicure che (l'energia potenziale elastica V) risulta

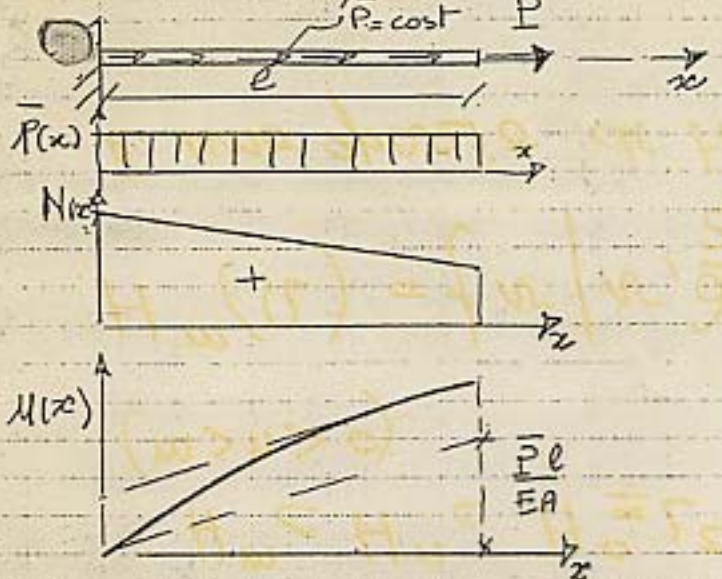
$$V = \frac{1}{2} P \bar{u}$$

\bar{u} spostamento del punto di applicazione della forza

E dunque, tenendo $\Pi(u) = V - P\bar{u}$, $\Pi(u) = -\frac{1}{2} P\bar{u}$

E quindi dunque $\Pi(u_{AP}) \geq \Pi(u)$ nel caso in oggetto si ha $-\frac{1}{2} P\bar{u}_{AP} \geq -\frac{1}{2} P\bar{u} \Rightarrow |\bar{u}_{AP} < \bar{u}|$ che non è possibile.

la discretizzazione del lavoro dei carichi esterni, sotto forma di carichi nodali equivalenti



$$\bar{P} = \bar{p}l \quad -E_s n2-$$

condizioni al contorno

$$\begin{cases} U(0) = 0 & \text{eineutrale} \\ EAu'(e) = N(e) = \bar{P} & \text{naturale} \end{cases}$$

l'equazione $EA \frac{d^2 u(x)}{dx^2} = -\bar{p}$

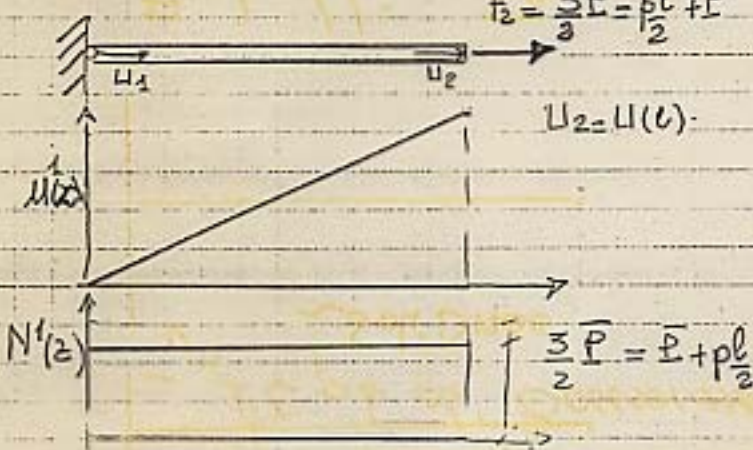
la soluzione $U(x) = \frac{\bar{P}x}{EA} \left(2 - \frac{x}{2e}\right)$

e quindi $U(l) = \frac{3}{2} \frac{\bar{P}e}{EA}$

Elemento finito

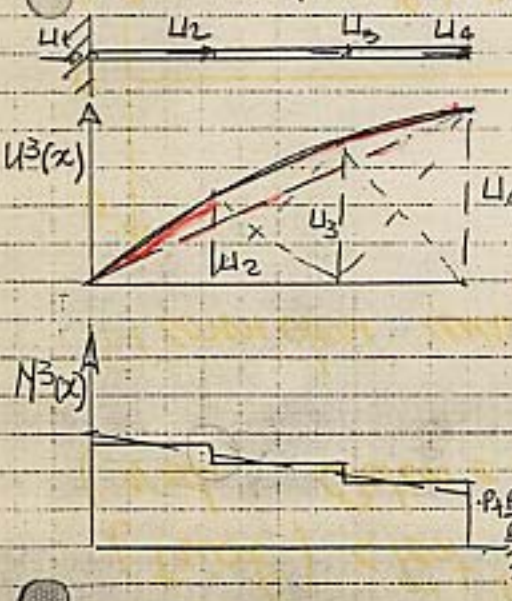
$$F_2 = \frac{3}{2} \bar{P} = \bar{P}l + \bar{P}$$

$$K_e = \frac{EA}{L} \begin{bmatrix} 1 & -1 \\ -1 & 1 \end{bmatrix}$$



$$\begin{cases} U_1 = 0 \\ U_2 = \frac{3}{2} \frac{\bar{P}e}{EA} \end{cases}$$

-3 elementi finiti



$$\begin{cases} F(1) = \bar{P} \frac{e}{6} \\ F(2) = \bar{P} \frac{e}{2} \\ F(3) = \bar{P} \frac{3e}{2} \\ F(4) = \bar{P} + \bar{P} \frac{e}{6} \end{cases}$$

ottimi carichi nodali equivalenti

$U_1 = 0$ const. al contorno eineutrale

$$\frac{3EA}{e} \begin{vmatrix} 2 & -1 & 0 & | & U_2 \\ -1 & 2 & -1 & | & U_3 \\ 0 & -1 & 1 & | & U_4 \end{vmatrix} = \begin{vmatrix} pl/3 \\ pl/3 \\ \bar{P} + pl/6 \end{vmatrix}$$

$$U_2 = \frac{11}{18} \frac{\bar{P}e}{EA}$$

$$U_3 = \frac{20}{18} \frac{\bar{P}e}{EA}$$

$$U_4 = \frac{3}{2} \frac{\bar{P}e}{EA}$$

CAP I

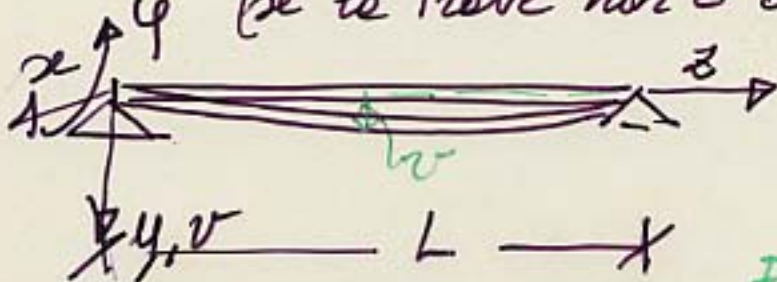
INTRODUZIONE AL METODO DEGLI ELEMENTI FINITI

- IL CONCETTO DELLE TRAVERSI INFLESSI pp 17-19
- ELEMENTI "LAGRANGIANI" pp 20-22
- ELEMENTI "GERARCHICI" pp 23-27
- VELOCITA' DI CONVERGENZA E STIMA
DELL'ERRORE pp 28 - 29_{bis}

Il caso delle travi inflesse

17

l'eq. di equilibrio in termini di spostamenti
(se le travi non è deformabile e taglio)



risulta

$$EI v'' = q$$

Eq. Linea ELASTICA (Euler-Bern)

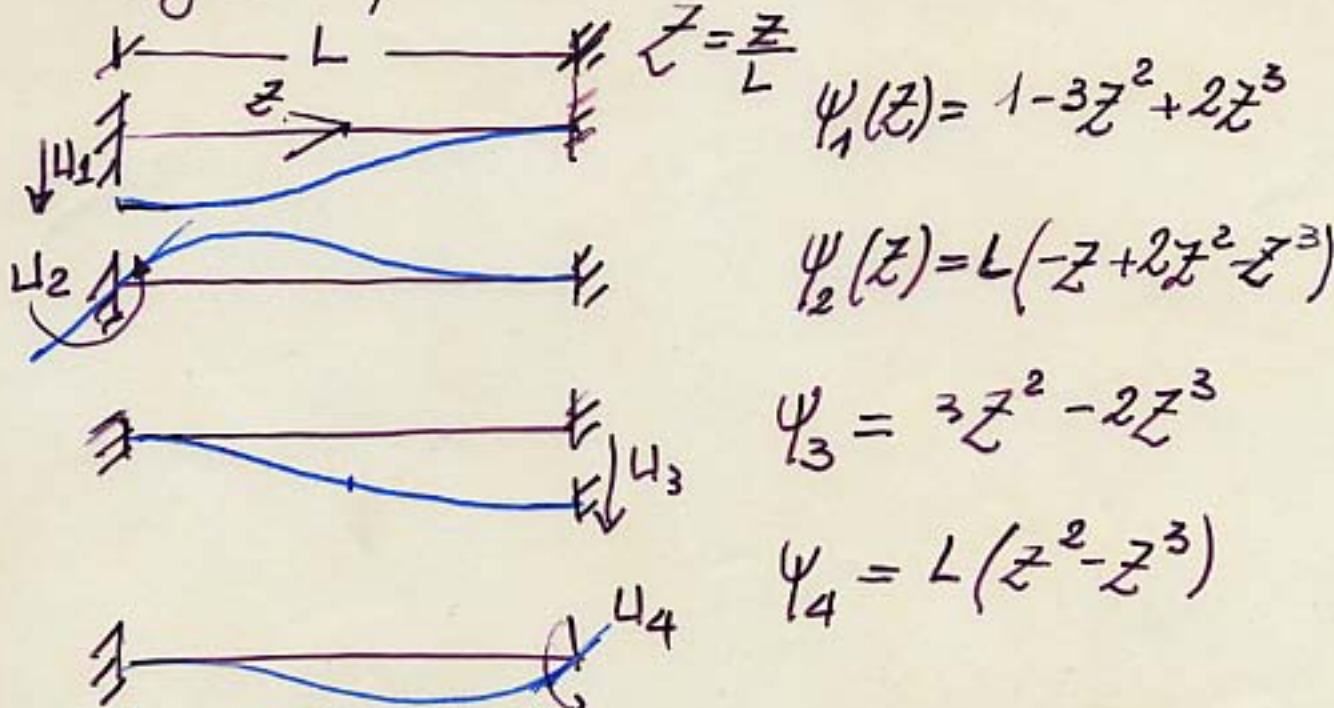
l'EPT assume la forma

Le

$$\Pi(v) = \frac{1}{2} \int_0^L EI v''^2 dz - \int_0^L q(z)v(z)dz + \dots$$

Le funzioni ammissibili saranno continue con derivata prima continua e derivata seconda di quadrato sommabile.
(o che il pot. elastico sia finito)

Si assumono come funzioni di forma i seguenti polinomi di Hermite



ponendo

$$\underline{B} = \begin{bmatrix} \psi''_1, -\psi''_2, -\psi''_3, -\psi''_4 \end{bmatrix} = \begin{bmatrix} \frac{6}{L^2} - \frac{12z}{L^3}, \frac{4}{L} - \frac{6z}{L^3}, -\frac{6}{L^2} + \frac{12z}{L^3}, \frac{2}{L} - \frac{6z}{L^2} \end{bmatrix}$$

si ha

$$\underline{K}^e = \int_0^L \underline{B}^T E J \underline{B} dz, \text{ ovvero } K_{ij}^e = \int_0^L E J \psi_i'' \psi_j'' dz$$

che ovviamente, nel caso EJ cost, coincide con quelle già viste.

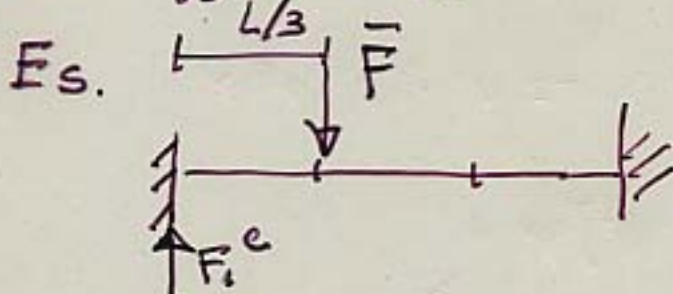
Dalla discretizzazione del Lc si ottengono i cosiddetti noduli equivalenti.

$$L_e = \int_0^L q(z) N(z) dz + \int_0^L m(z) \varphi(z) dz$$

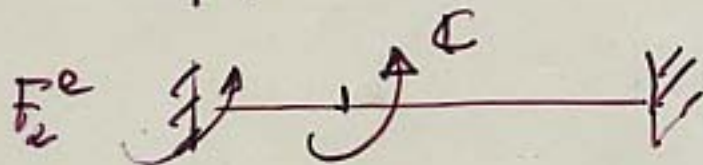
poiché $N(z) = \sum_{i=1}^4 u_i \psi_i(z)$

$$\varphi(z) = - \sum_{i=1}^4 u_i \psi'_i(z)$$

$$F_e = \int_0^L q(z) \psi_i(z) dz + \int_0^L m(z) \psi'_i(z) dz$$



$$F_1^e = \int_0^{L/3} q(z) \psi_1(z) dz = \\ = \bar{F} \cdot \left(1 - \frac{3L^2}{27} + 2 \frac{L^3}{27} \right) = \\ = \frac{20}{27} \bar{F}$$



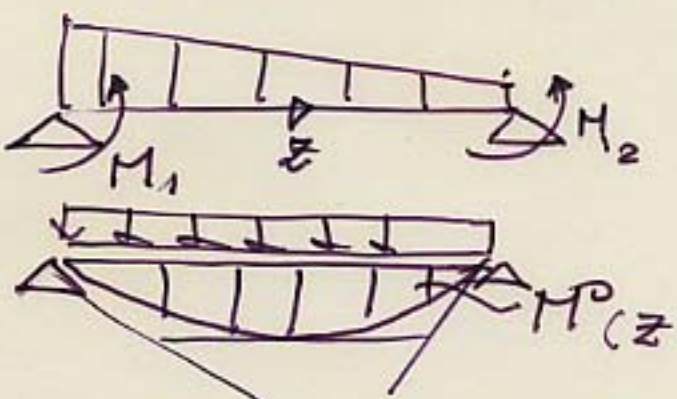
$$F_2^e = \int_0^L m(z) \psi'_2(z) dz = \\ = \bar{m} \left(\psi'_2 \left(z = \frac{L}{3} \right) \right)$$

SFORZI ALLE ESTREMITÀ'

NEL RIFERIMENTO DELL'ASTA , COME VISTO

$$\underline{S}^e = \underline{K}^e \underline{U}^e + \underline{F}^e$$

SFORZI IN CAMPATA : OCCORRE SOVRAPPORRE
ALLE AZIONI DOVUTE DI MOVIMENTI DI ESTREMITÀ'
L'effetto del carico in compato
AD ES. PER IL MOMENTO FLETTENTE



$$M_{(z)}^H = -EIv'' = \\ = -EI\underline{B} \underline{U}$$

$$M = M^u + M^o$$

Di solito non viene volutamente l'espressione analitica del momento , ma il valore in un numero prefissato di sezioni (eg. 10)
 \Rightarrow Sollecitazione Massime e
 calcolo e disegno delle armature

CALCOLO DI UNA FRECCIA (o ...) in compato
 finito \bar{z} è certamente possibile ottenere

$$v(\bar{z}) = \sum_{i=1}^n U_i \cdot \psi_i(\bar{z})$$

A volte è più pratico introdurre in \bar{z} un nodo
 ausiliario (aumentando così elementi e variabili)

III 6 Integrazione numerica in 1-D

nel calcolo della mat di rigidità dell'elemento K_e^e e
del vettore dei corichi nodali equivalente F_e^e .

Il calcolo dei coef K_e^e ed F_e^e richiede la soluzione
di integrali del tipo

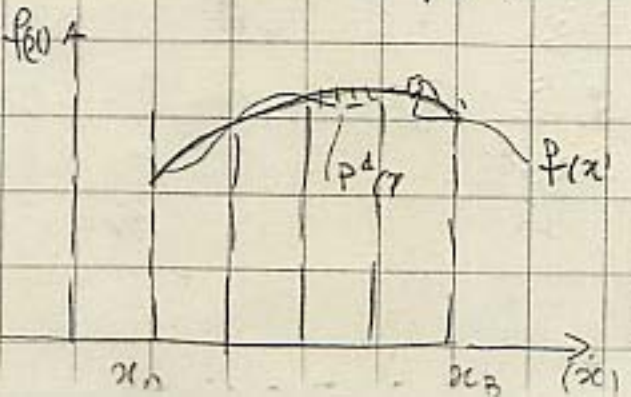
$$\int_{x_e}^{+1} f(x) dx = \int_{-1}^{+1} f(\xi) J d\xi \quad (\circ)$$

se il problema è monodimensionale e gli elementi
sono semplici come quelli descritti è possibile
soluzionare esattamente lo (\circ) , se il problema
è bidimensionale o se si impieghi elementi
isoperimetrali una soluzione esatta è dificoltosa
se non impossibile per le pressioni di J ($\in J^{-12}$)

Una soluzione approssimata è talvolta
richiesta quando l'integrandi va necessariamente
soluzionato in modo impreciso (metodi "penalzi") o
quando lo f integrando è noto solo in certi punti.
(prob. non-lineari).

L'idea base di $\int f$ integrazione numerica (o QUADRATURA)
è trovare una funzione $P(x)$ (un polinomio in genere),
ponendo a $f(x)$ e di facile integrazione -

Il polinomio di grado n , viene determinato imponendo
che esso coincida con $f(x)$ in $n+1$ punti.



Oss. L'area di $\int f$ è < area
interpolazione, infatti
area di segno \neq si compone

FORMULE DI QUADRATURA DI GAUSS-LEGENDRE

i pt. di base non sono equispaziati.

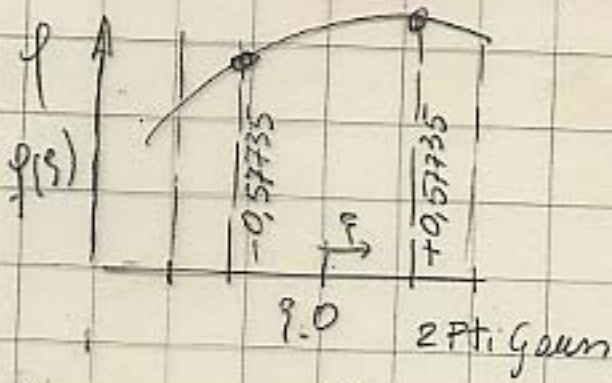
Si possono scegliere allora $(n+2)$ parametri n per i x_i ,
ed n pt. base ξ_i , in modo da integrare esattamente
un polinomio di grado $\leq n+1$.

F. di Gours - regolare

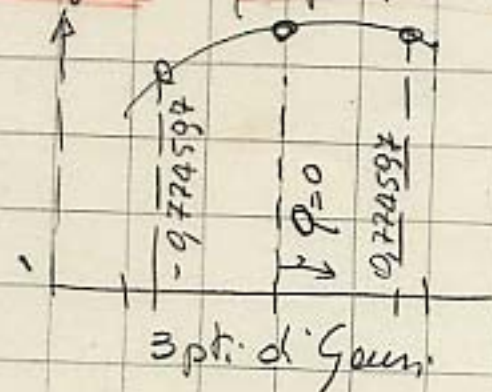
$$\int_a^b f(x) dx = \int_{-1}^1 \hat{f}(\xi) d\xi = \sum_{i=1}^n w_i \hat{f}(\xi_i) + O(h^{2n+1})$$

$$\text{con } \hat{f}(\xi) = f(x(\xi)) J(\xi) \quad g = \text{corrispondente naturale}$$

W_i pesi, ξ_i = cordi pt. di Gours, sono gli zeri del pol. di Legen.
NB un polinomio di grado p è integrato esattamente
con $n = (p+1)/2$ pt. di Gours (se p è pari 1 pt. in più)



$$n \\ 1 \\ \xi_i \\ 0.0$$



$$w_i \\ 8 \quad (\text{1 medio } x h)$$

$$2 \quad \left(\frac{\sqrt{3}}{3} \right) \pm 0.57735$$

$$1$$

$$3 \quad \left(\frac{\sqrt{5}}{5} \right) = \left(0.7745966 \right)$$

$$\frac{8}{9}$$

$$4 \quad \begin{cases} \pm 0.339921 \\ \pm 0.8611363 \end{cases}$$

$$0.652145$$

$$0.34785484$$

La funzione errore $e(x) = u_{ex} - u_n(x)$, $\in H_1^0$, può ovviamente essere valutata puntualmente solo quando è nota la soluzione esatta.

Altrimenti ci si deve accontentare di valutare una norma dell'errore.

Va bene sono le norme possibili:

$$\text{Energy norm} \quad \|e\|_E = \left(\int_{\Omega} (e')^2 dx \right)^{1/2}$$

(o in H^{-1})

$$L_2 \text{ norm} \quad \|e\|_{L_2} = \left(\int_{\Omega} e^2 dx \right)^{1/2}$$

$$\text{norma uniforme} \quad \|e\|_\infty = \max_{\Omega} |e(x)|$$

Per quanto concerne le prime si è mostrato

$$\|e\|_E = \|u_{ex} - u_n\| = \min_{V \in S^n} \|u_{ex} - v\|$$

mentre l'ultima, che è la più difficile da valutare, è quello che ho maggior significato significativo.

Più in generale si è interessati ad una Misura dell'ACCURATEZZA della soluzione.

Sia $F(u)$ un generico funzionale (e.g. lo spostamento in un punto, lo stato di tensione, la tensione equivalente, lo stress-intensity factor) e per uno prefissato tolleranza si desidera garantire (CONTROLLO DELL'ACCURATEZZA)

$$\frac{|F(u_{ex}) - F(u_n)|}{F(u_{ex})} < \rho$$

Sono possibili sia stime a priori che stime a posteriori.

- Di particolare interesse sono le stime a priori o asintotiche per $h \rightarrow 0$ in modo uniforme ($\|e\|_h = h^{-\text{const}}$)

Se la soluzione u_{ex} è regolare ($\in C^2$) e
possibile mostrare che

$$\begin{aligned}\|e\|_E &\leq C_E h^p \\ \|e\|_{L_2} &\leq C_{L_2} h^{p+1} \\ \|e\|_\infty &\leq C_\infty h^{p+2}\end{aligned}$$

ove p , è il grado del polinomio completo di
(grado max) usato come polinomio interpolante.

Nel caso delle splines lineari o tratti $p=1$

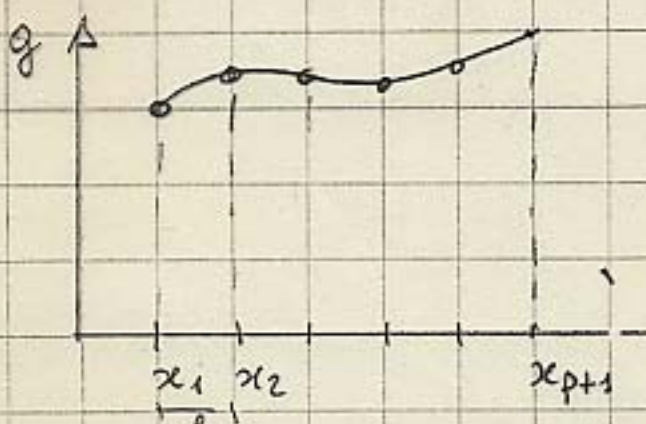
$$\begin{aligned}\|e\|_E &\leq C_E h \\ \|e\|_{L_2} &\leq C_{L_2} h^2 \\ \|e\|_\infty &\leq C_\infty h^2\end{aligned}$$

- Polinomi di Lagrange.

Assunta una interpolazione polinomiale di grado p , conviene determinarne i coefficienti in modo che il polinomio completo sia rappresentato da una combinazione lineare di polinomi di grado p che assumono il valore 1 in un nodo e si annullino negli altri, ed assumere questi come funzioni di forma $\psi_i(x)$.

I polinomi di Lagrange, introdotti inizialmente per interpolare una curva nota ("curve fitting") soddisfano a questo requisito.

La loro determinazione è agevole e viene di seguito riportata.



x_i = coord. nodi (knots)
dell'interpolazione

- || Trovare l'approssimazione polinomiale di ordine p
- || t.c. $g(x_i) = g_p(x_i)$ in $p+1$ punti equispaziati (x_{i+1} misura)

$$g_p(x) = d_1 + d_2 x + d_3 x^2 + \dots + d_{p+1} x^p$$

s'ha

$$\begin{cases} g(x_1) = g_1 = d_1 + d_2 x_1 + \dots + d_{p+1} x_1^p \\ \dots \\ g(x_{p+1}) = g_{p+1} = d_1 + d_2 x_{p+1} + \dots + d_{p+1} x_{p+1}^p \end{cases}$$

Ponendo $g_i = 1$, $g_j = 0 \text{ con } j \neq i$, si risolve il sistema lineare di equazioni nei coeff. α_i si ottengono appunto le funzioni di forma ψ_i o polinomi di Lagrange.

$$\psi_i = \frac{\prod_{\substack{j=1 \\ j \neq i}}^{p+1} (x - x_j)}{\prod_{j=i+1}^{p+1} (x_i - x_j)}$$

$$\Rightarrow g_p(x) = \sum_{i=1}^{p+1} g_i \psi_i(x)$$

Per ottenere le f. di forma nell'elemento di riferimento nelle coordinate naturali ξ e $-1 \leq \xi \leq +1$, basta nelle relazioni precedenti porre $x_1 = -1$, $x_{p+1} = +1$ e di conseguenza volutamente le coordinate x_i dei nodi interni. E' facile verificare che per $p=1$ si ha

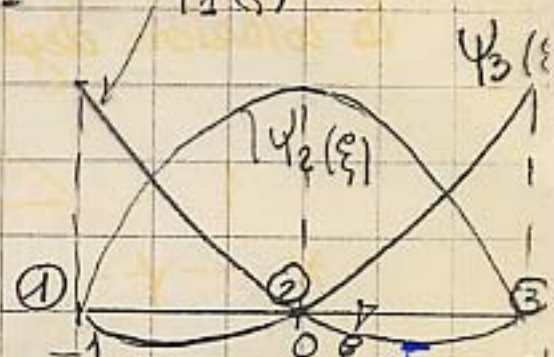
$$\psi_1 = \frac{\xi - \xi_2}{\xi_1 - \xi_2} = \frac{\xi - 1}{-2} = \frac{1 - \xi}{2}; \quad \psi_2 = \frac{\xi - \xi_1}{\xi_2 - \xi_1} = \frac{1 + \xi}{2}$$

per $p=2$ ELEMENTO QUADRATICO

$$\xi_1 = -1, \quad \xi_2 = 0, \quad \xi_3 = +1$$

$$\psi_1(\xi)$$

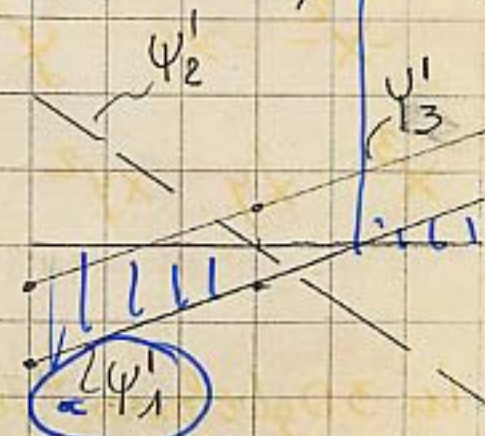
$$\psi_1(\xi) = \frac{(\xi - 0)(\xi - 1)}{(-1 - 0)(-1 - 1)} = \frac{1 - \xi}{2}(\xi - 1)$$



$$\psi_2(\xi) = \frac{(\xi + 1)(\xi - 1)}{(-1 + 1)(+1)} = (1 - \xi^2)$$

$$\psi_3(\xi) = \frac{(\xi + 1)\xi}{(1 + 1) \cdot 1} = \frac{1}{2}\xi(\xi + 1)$$

$$\psi'_1(\xi) = \left(-\frac{1}{2} + \xi \right)$$



$$\psi'_2(\xi) = -2\xi$$

$$\psi'_3(\xi) = \frac{1}{2} + \xi$$

$$\psi'_1$$

$$K_{ij}^e = \frac{1}{2} \int_{-1}^{+1} EA \psi_i'(q) \psi_j'(q) dq$$

-283-

K^e(3x3), M^e(3x3)

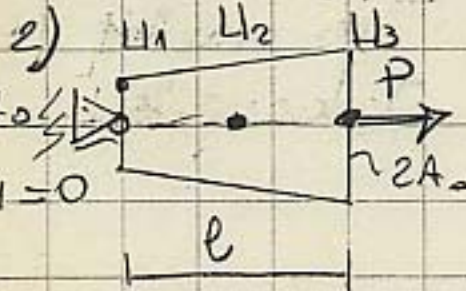
poiché i,j = 1..3

$$F_{ij}^e = \frac{le}{2} \int_{-1}^{+1} q \psi_i(q) dq$$

$$M_{ij}^e = \frac{le}{2} \int_{-1}^{+1} k \psi_i(q) \psi_j(q) dq$$

ESERCIZI

1) Si calcoli la mat. di rigidezza ed il vettore dei carichi nodali per l'asta di sez. cost. soggetto ad un carico axiale uniformemente distribuito e si ritrovino le soluzioni esatte



$$\text{nel quadrato} \Rightarrow u_3 = \frac{9}{13} \frac{P L}{EA_0} = -0,6923077 \frac{P L}{EA_0}$$

Si ottiene un risultato migliore ^{sia} di quello ottenuto con 2 el f lineari (stesso numero di incognite) che di quello ottenuto con 3 el f lineari.

Si possono in modo analogo generare modelli agli elementi fatti con funzioni di forma costituite da polinomi di Lagrange o di ordine p qualunque.

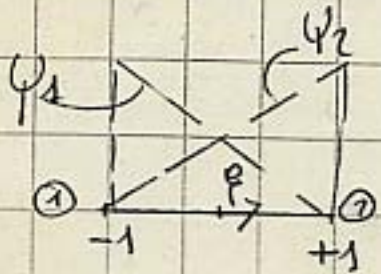
Si ottengono al crescere di p modelli più accurati.

ma sempre più complessi ($p=1$ e $p=2$ è ciò che usualmente si impiega). Si osserverà nel seguito che lo "velocità di convergenza" dipende da p. Lo svantaggio principale è che i modelli per p diversi non sono generali l'uno dall'altro.

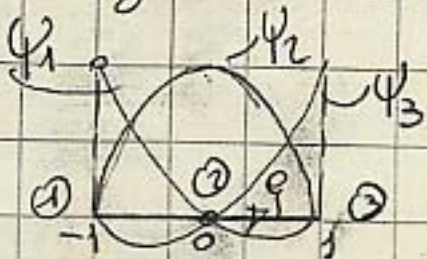
III.5 Elementi Geometrici "monodimensionali"

-284-

Come visto se per migliorare la soluzione approssimata si passa da un el. f. lineare, $p=1$, ad uno quadratico occorre ricalcolare le mat. di rigidità dell'elemento



- f di forma el. lineare



f. di f. el. quadratico Lagrange

Al fine di poter generare elementi di ordine più elevato senza dover modificare le precedenti funzioni di base e nuove matrici di rigidità senza modificare i termini precedentemente calcolati sono stati introdotti gli elementi gerarchici.

Per raggiungere lo scopo tutte le funzioni di forma devono essere ortogonali in energia; ovvero

mentenendo le Ψ_1 e Ψ_2 dell'elemento lineare dovrà esser

$$\int_{-1}^{+1} \Psi_i \Psi_j' d\zeta = \delta_{ij} \quad i, j > 2, \quad \int \Psi_i' d\zeta = 0 \quad i > 2 \quad (\star)$$

Un altro requisito è che $\Psi_i(+1) = 0 \quad i > 2$, in modo da non alterare il significato di U_1 ed U_2 ; le nuove funzioni di forma verranno pertanto dette INTERNAL SHAPE FUNCTIONS.

I gradi di libertà ad esse associate erano relativi ad un solo elemento potranno essere espressi in funzione di U_1 ed U_2 , minore dell'assemblaggio (CONDENSATION STATIC).

Evasioni di forme, con questi requisiti sono state ottenute -
 (SZABÓ-BABUŠKA) in funzione dei Polinomi ortogonali
 di Legendre - Il Polinomio di Legendre di grado $-285-$
 n , $n=0, 1, 2 \dots$ è la soluzione delle eq. diff. di Legendre

$$(1+x^2)y'' - 2xy' + n(n+1)y = 0 \quad -1 \leq x \leq +1$$

$$P_0(x) = 1$$

$$P_1(x) = x$$

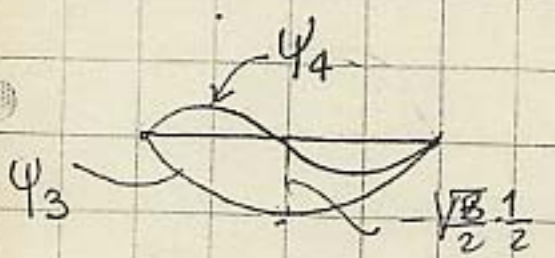
$$P_2(x) = \frac{1}{2}(3x^2 - 1)$$

$$P_3(x) = \frac{1}{2}(5x^3 - 3x) \quad \text{etc}$$

$$\Rightarrow \Psi_{j+1}(\xi) \stackrel{\text{def}}{=} \sqrt{\frac{2j+1}{2}} \int_{-1}^{\xi} P_{j-1}(t) dt \quad j = 2, 3, 4 \dots$$

$$j=2 \quad \Psi_3(\xi) = \sqrt{\frac{3}{2}} \int_{-1}^{\xi} t dt = \sqrt{\frac{3}{2}} \frac{(\xi^2 - 1)}{2} \quad j=2$$

$$\Psi_4(\xi) = \sqrt{\frac{5}{2}} \int_{-1}^{\xi} \frac{1}{2}(3t^2 - 1) dt = \frac{5}{2\sqrt{10}} \xi (\xi^2 - 1) \quad j=3$$



$$u^e(\xi) = \sum_{i=1}^n \Psi_i(\xi) u_i = U_1 \left(\frac{1-\xi}{2} \right) + U_2 \left(\frac{1+\xi}{2} \right) + U_3 \Psi_3 + U_4 \Psi_4$$

U_3 ed U_4 non hanno il significato di valori dello spostamento
 in un nodo

Oss.

In virtù dello (8) le mat k e d crescono al crescere di p solo
 di termini sulla diag. principale, mentre ciò non sono vero per M.
 Tuttavia se AE è variabile non varia più che anche nei letmat di riga

- matrice di rigidezza dell'elemento gerarchico del 2° grado.

$$K_{ij}^e = \frac{2}{l_e} \int_{-1}^1 AE_i \psi'_i \psi'_j d\xi$$

per i.e.j = 1, 2 si ritrovano i termini $\frac{EA}{l_e}$ 1 -1 0 dell'elemento Lagrangiano lineare

I termini $K_{i3} = K_{3i}$ con $i \neq 3$ risultano nulli, infatti, a h.

$$K_{i3}^e = \int_{-1}^1 \psi'_i \psi'_3 = \int_{-1}^1 -\frac{1}{2} \xi d\xi = 0$$

resta il termine

$$K_{33}^e = \frac{2}{l_e} \int_{-1}^1 EA (\psi'_3)^2 d\xi = \frac{2}{l_e} \int_{-1}^1 EA \xi^2 d\xi = \frac{2}{3} \frac{EA}{l_e}$$

pertanto la matrice dell'elemento gerarchico quadratico risulta

$$K^e = \frac{EA}{l_e} \begin{vmatrix} 1 & -1 & 0 \\ -1 & 1 & 0 \\ 0 & 0 & 2/3 \end{vmatrix}$$

la matrice può essere pertanto ottenuta semplicemente aggiungendo un nuovo termine nello step. principale.

elementi gerarchici di grado p del polinomio sezione possono essere ottenuti aggiungendo i termini cubici, quadrati, etc. in modo tale che diventino III^A , IV^A etc nel punto oh mezzo risultino i gradi di libertà.

P- Convergenza (BABUSKA) per elementi gerarchici

Stime a posteriori

Le stime a posteriori richiedono il calcolo di 2 o più soluzioni e l'analisi asintotica ha mostrato come per soluzioni suff. regolare

$$\|e\|_E \leq C_E h^p = K_E N^{-p}$$

$$\|e\|_\infty \leq C_\infty h^{p+1} = K_\infty N^{-p+1}$$

$$\text{altrimenti } \|e\|_E \leq K N^\beta \quad (\times) \quad \beta = \min(p, 1 - \frac{1}{2})$$

C'è suggerisce di rappresentare i risultati ottenuti

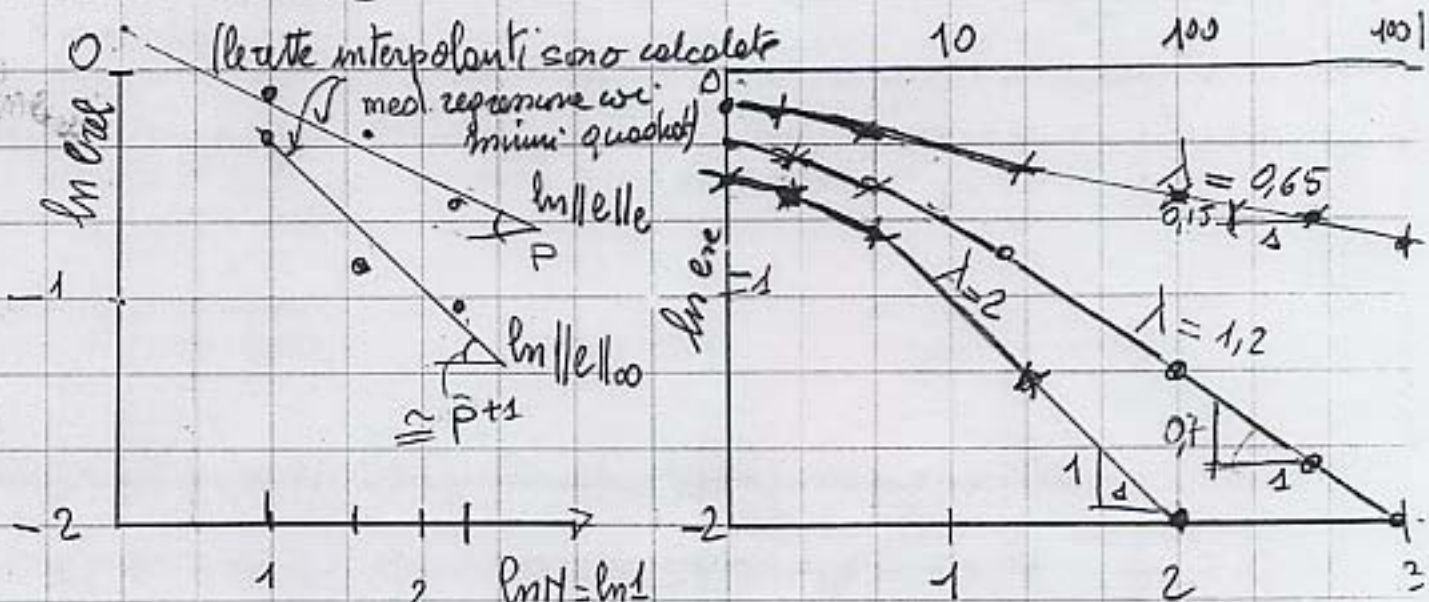
in un opportuno asse logaritmico, infatti $(\times) \Rightarrow$

$$\ln \|e\|_E = \ln K - \beta \ln N.$$

In ordinata in genere si riporta l'errore relativo in Energia

$$e_{rel} = \frac{\|e\|_E}{\|u_{ex}\|_E}$$

$$\ln |e_{rel}|$$



Soluz. $u_{ex} \in C^2 - (Fig 1)$

Soluz. con h variabile (Fig 2)

h convergenza, raffilamento uniforme, ($p=1$)

Osservazione 1) Le stime a posteriori più semplice da valutare è

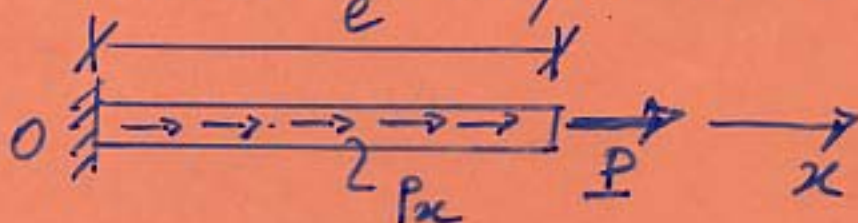
$\|e\|_\infty$, (e.g. un punto), con almeno 3-4 soluzioni, cominciano a u_{ex} , quelle ottenute con la mesh più finita disponibile

i) si può riscontrare superconvergenza in alcuni punti.

ii) Le h-Estensioni sono computazionalmente molto più onerose che le p-estensioni.

Introduzione al metodo degli elementi finiti: Metodo di GALERKIN

Si consideri un problema 1-D modello



basis rettilinee
di sez $A(x)$ e
modulo E .

Relazioni fondamentali.

i) Equilibrio $\xleftarrow{N} \begin{array}{|c|} \hline \xrightarrow{P_x} \\ \hline \end{array} \xrightarrow{N+dN} \quad N(x) = EA$

$$\frac{dN}{dx} = -P_x \quad \Rightarrow \quad \frac{d}{dx} [EA(x) \frac{dU}{dx}] = -P_x(x) \quad \dots$$

ii) Conguerrere. (comp. cinematica)

$$\varepsilon_x(x) = \frac{dU(x)}{dx} \quad (2)$$

iii) Eq. costitutiva

$$\sigma = E \varepsilon \iff \varepsilon = \frac{\sigma}{E} \quad (3)$$

ponendo 2 e 3 in 1

$$\frac{d}{dx} \left[E(x) A(x) \frac{dU}{dx} \right] = -P_x \quad \Rightarrow \quad EA = \text{cost}$$

$$\boxed{EA \frac{d^2U}{dx^2} = -P_x} \quad (4)$$

+ la seconda vena
dovuta se esiste se
 $U \in C^2[0, L]$

Eq. linea elastica, Navier ... etc

condizioni al contorno

$$u(0) = 0 \quad \begin{array}{l} \text{b.c.} \\ \text{(5)} \end{array} \quad \begin{array}{l} \text{essenziale (o di Dirichlet)} \\ \text{o sugli spostamenti.} \end{array}$$

$$N(e) = EA \frac{du}{dx} \Big|_e = P \quad \begin{array}{l} \text{b.c. naturale (o di Neumann)} \\ \text{o sulle forze} \end{array}$$

Imporre in modo debole la (4) significa
richiedere che esista che $\int_E EAu'' + p_x v = 0 \quad \forall v \in [0,e]$
risulti:

$$\int_0^e (EAu'' + p_x v) dx = 0 \quad \begin{array}{l} \text{f.v.r.) ammissibile} \\ v = \text{funzione tot} \end{array}$$

Integrando per parti.

$$\int_0^e -EAu'v' dx + \int_{p_x}^e Pv dx + [EAu'n]_0^e = 0$$

ricordando che $EAu'|_e = P$ e che affinché
una funz. ammissibile deve soddisfare
le condizioni omogenee sugli spostamenti $v(0) = 0$

$$\stackrel{\text{PLV}}{\Rightarrow} \int_0^e EAu'u' dx - \int_{p_x}^e Pv dx - Pv(e) = 0 \quad (6)$$

affinché u abbia senso

$u'v'$ t.c. $\int u'v' < H$ (funz. di quadrato
sommabile nel H)

e.g. H continua ed $[0,e]$ è di quadrato sommabile

A₁ -3-

Come noto il PL.V (6) rappresenta la condizione di stazionarietà ($\delta \Pi = 0$) del Principio di Minimo dell'En. Pot. Totale

$$u_0(x) = \arg \min \Pi(u(x)) \quad \forall u(x) \in H$$

$$\Pi(u) = \int_0^e \frac{1}{2} EAu'^2 dx - \int_0^e蒲udx - P(u(e)) = 0 \quad (7)$$

Metodi classici per la soluzione approssimata delle eq. differenziali.

Rayleigh - Ritz (1905) — GALERKIN (1915)

Si sceglie una soluzione di tentativo (trial) $u_N(x)$ dipendente da N parametri

— u_N deve essere ammmissibile i.e.,

i) suff. regolare ($u \in H$)

ii) verificare le condizioni enunciate al bordo
(ovvero quelle omogenee agli spostamenti)

al variare di N $\{u_n\}_{n=1..N}$ induce
una successione di funzioni trial

A₁ -3-

Come noto il PL.V (6) rappresenta la condizione di stazionarietà ($\delta \Pi = 0$) del Principio di Minimo dell'En. Pot. Totale

$$u_0(x) = \arg \min \Pi(u(x)) \quad \forall u(x) \in H$$

$$\Pi(u) = \int_0^e \frac{1}{2} EAu'^2 dx - \int_0^e蒲udx - P(u(e)) = 0 \quad (7)$$

Metodi classici per la soluzione approssimata delle eq. differenziali.

Rayleigh - Ritz (1905) — GALERKIN (1915)

Si sceglie una soluzione di tentativo (trial) $u_N(x)$ dipendente da N parametri

- u_N deve essere ammmissibile i.e.,

i) suff. regolare ($u \in H$)

ii) verificare le condizioni enunciate al bordo
(ovvero quelle omogenee negli spostamenti)

al variare di N $\{u_n\}_{n=1..N}$ induce
una successione di funzioni trial

Esempi

$$u_N = \sum_{n=1}^N a_n \sin \frac{n\pi x}{e} + b_n \cos \frac{n\pi x}{e}$$

$$u_N = \sum_{n=1}^N c_n x^n \quad \begin{array}{l} (\text{serie di Fourier}) \\ (\text{f. polinomiale}) \end{array}$$

etc

In generale si scrive

$$u_N = \sum_{n=1}^N u_n \varphi_n(x) \quad \varphi_n \text{ f.d. base}$$

$$\text{Affinché } \{u_n\} \Rightarrow u_0(x) \text{ per } n \rightarrow \infty$$

occorre che

i) $\|u^N - u_0\| \xrightarrow[N \rightarrow \infty]{} 0$ ovvero

$$\|u^N - u\| \xrightarrow[N \rightarrow \infty]{} 0 \quad \forall u \in H$$

ovvero l'insieme

$$S^H \stackrel{\text{def}}{=} \left\{ u_N \in H : u_N = \sum_{n=1}^N u_n \varphi_n(x), \quad u_n \in R \right\}$$

sia denso in H

ii) le funzioni di base φ_n sono linearmente indipendenti, ovvero che nessuna sia φ_n ottenibile mediante combinazione lineare delle precedenti.

Sol. Es. Metodo di Galerkin

$$\varphi_i(z) = \left(\frac{z}{l}\right)^i = \xi^i \quad (\text{soddisfano le b.c. esenziali})$$

$$\tilde{V}_2(z) = v_1 \xi + v_2 \xi^2 \quad (\tilde{U}_2(\xi) = u_1 \xi + u_2 \xi^2)$$

Sostituendo nella esp. del PLV

$$\text{assumono } \tilde{V}_2(z) = \tilde{U}_2(z)$$

$$\int_0^l EA(z) u'(z) v'(z) dz - Pv(l) = 0 \Rightarrow$$

$$l \left[\int_0^1 EA(\xi) u'(\xi) v'(\xi) d\xi - PN(1) \right] =$$

$$\sum_{L=1}^2 u_i \left[\sum_{j=1}^2 \left(E \int_0^1 A(\xi) \cdot \xi^{L-1} \xi^{j-1} d\xi \right) v_j \right] - P(v_1 + v_2) = 0$$

$$\Rightarrow \begin{bmatrix} v_1 & v_2 \\ EA_0 & \end{bmatrix} \begin{bmatrix} 3/2 & 5/3 \\ 5/3 & 7/3 \end{bmatrix} \begin{bmatrix} u_1 \\ u_2 \end{bmatrix} = \begin{bmatrix} P \\ P \end{bmatrix}$$

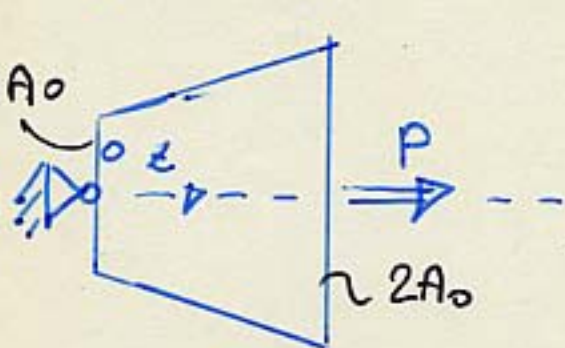
$$EA_0 \begin{bmatrix} 3/2 & 5/3 \\ 5/3 & 7/3 \end{bmatrix} \begin{bmatrix} u_1 \\ u_2 \end{bmatrix} = \begin{bmatrix} P \\ P \end{bmatrix} \Rightarrow \begin{bmatrix} u_1 \\ u_2 \end{bmatrix} = \frac{P}{EA_0} \begin{bmatrix} 2/3 + \frac{10}{63} \\ -\frac{1}{63} \end{bmatrix}$$

$$\Rightarrow u(\xi=1) = \left(\frac{2}{3} + \frac{1}{63} \right) \frac{P}{EA_0} = 0,6811 \frac{P}{EA_0}$$

$$\text{per } N=1 \quad u(\xi=1) = 0,666$$

per $N=6$ il numero è praticamente indistinguibile con 8 digits

Esempio

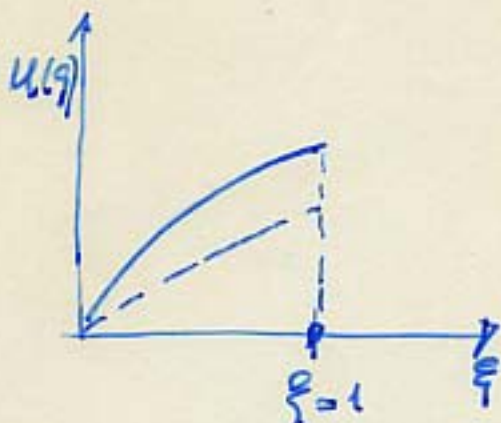


$$\xi = \frac{z}{l} \quad 0 \leq \xi \leq 1$$

$$A(z) = A_0 \left(1 + \frac{\xi}{\epsilon}\right) = A_0(1 + \xi)$$

$$\text{Eq. Equilibrio} \quad \frac{dN(z)}{dz} = \frac{\sigma}{E} \left[EA(z) \frac{du(z)}{dz} \right] = 0$$

$$\text{b.c} \quad \begin{cases} u(0) = 0 & \text{"essenziale" (Dirichlet, sull' spost.)} \\ N(l) = EA(l) u'(l) = P & \text{"notuale" (Neumann, nulla fag) } \end{cases}$$



$$u(\xi=1) = \frac{P}{E(2A_0 - A_0)} \ln \frac{2A_0}{A_0} = \\ = 0,693147 \frac{P}{A_0 E}$$

Se invece di sostituire nel P.L.V (M. di Ritz) Γ^{1-6-}

si sostituisce

$$\tilde{U}_N = \sum_{l=1}^N v_l \cdot \varphi_l(z) \quad \text{nell'EPT}$$

$$\Rightarrow \Pi^N(\tilde{U}_N) = \frac{1}{2} \int_0^L E A(z) \tilde{U}_N'^2(z) - P \tilde{U}_N(z)$$

Mimimizzando Π^N , c.e imponendo le condizioni di stazionarietà

$$\frac{\partial \Pi^N(v_1, \dots, v_N)}{\partial v_l} = 0 \quad l = 1 \dots N$$

\Rightarrow sistema precedente di N eq in N incognite
sistema sym, def. pos. nelle v_i .
essendo $(\delta^2 \Pi \leq 0)$

ovvero

$$\Pi(U_N) = \frac{1}{2} U_N^T K U_N - F^T U_N$$

$$\frac{d\Pi^N}{dU_N} \Rightarrow \boxed{K U_N = F}$$

A1 - 4 -

CONFRONTO FRA SOL. COL METODO DI
GALERKIN TRADIZIONALE
e METODO DEGLI ELEMENTI FINITI

M. GALERKIN

- φ_i . Polinomi \implies Met. Coef. mol condizionate
F. trigonometriche (S. Fourier) \implies diagonali
P. Legendre.
T. Bessel.

Inconvenienti caratteristici:

- 1) I 2 (3D) è praticamente impossibile ott. f. di base φ_i che soddisfino le condizioni al contorno energetiche.
- 2) Non sono possibili raffinamenti locali delle soluz. approssimate.
- 3) Le φ_i non si prestano a generare soluzioni nel dominio di forma f.
- 4) Risulta difficile trattare problemi con vincoli caotici.
- 5) Con polinomi si ottengono mat. coef. prese e mol condizionate.